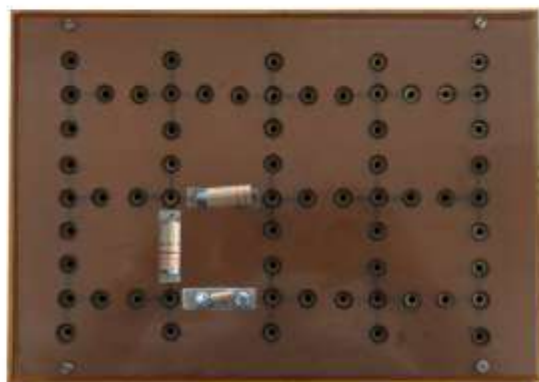
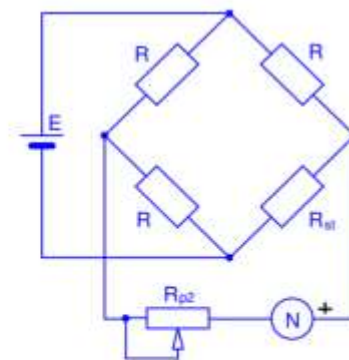
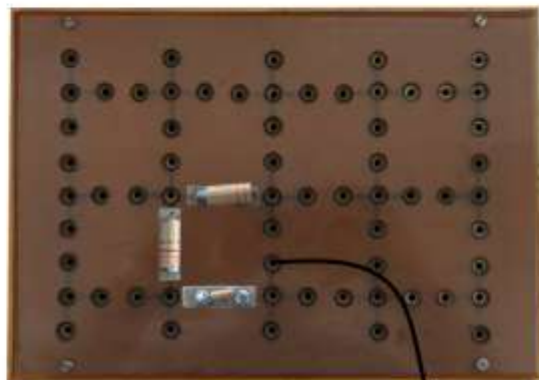
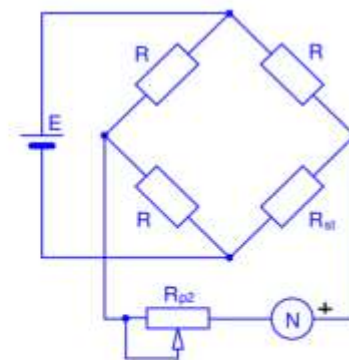
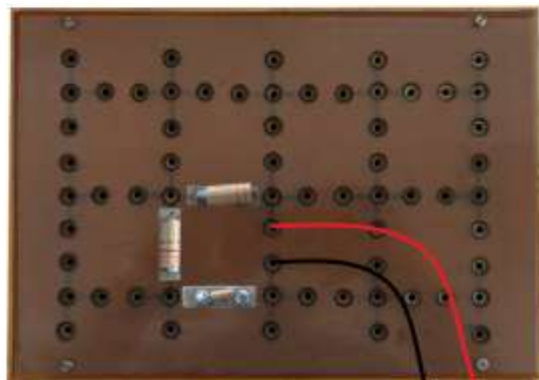


Slika 8.1.2. Neuravnoteženi Vistonov most.

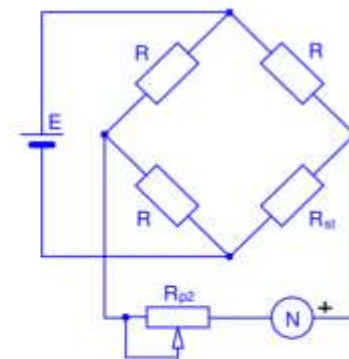
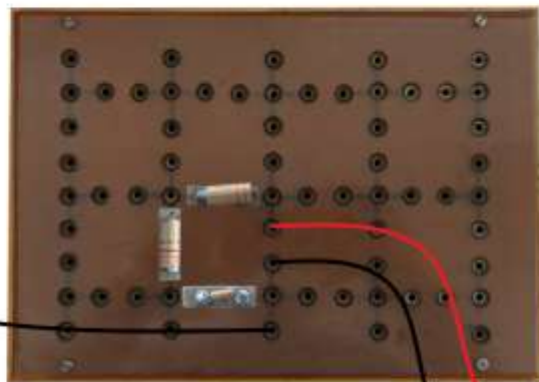




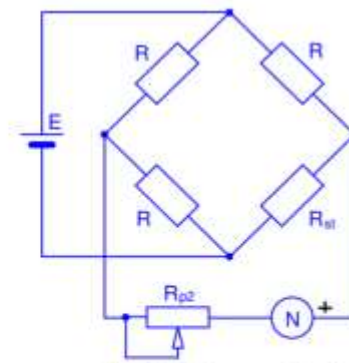
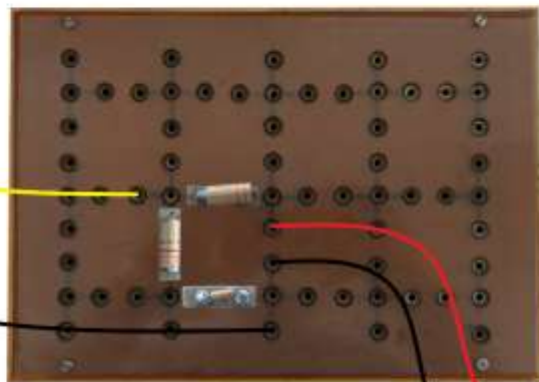
Slika 8.1.2. Neuravnoteženi Vistonov most.



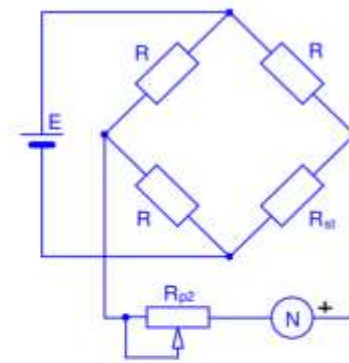
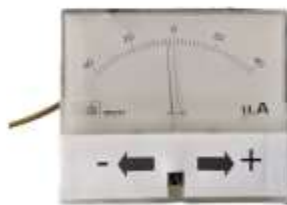
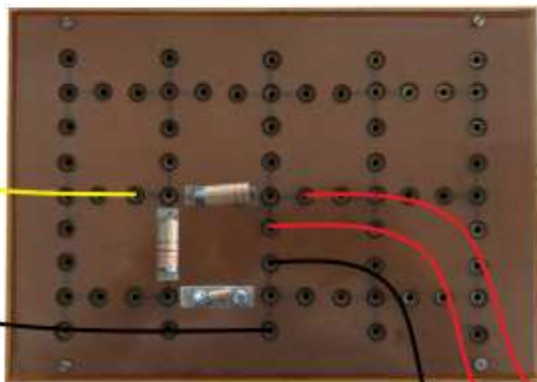
Slika 8.1.2. Neuravnoteženi Vistonov most.



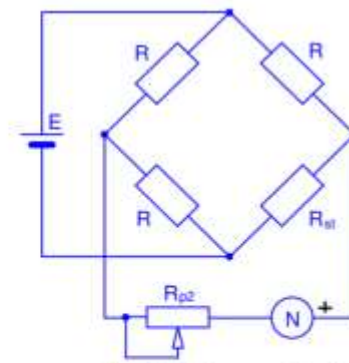
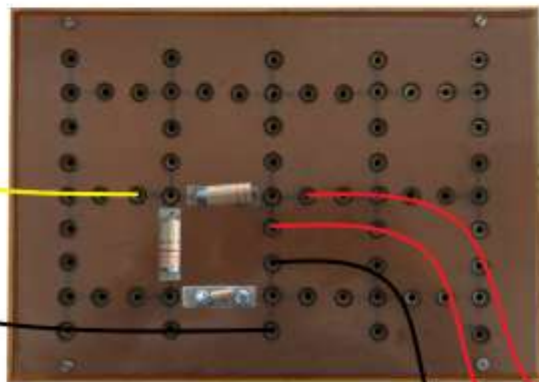
Slika 8.1.2. Neuravnoteženi Vistonov most.



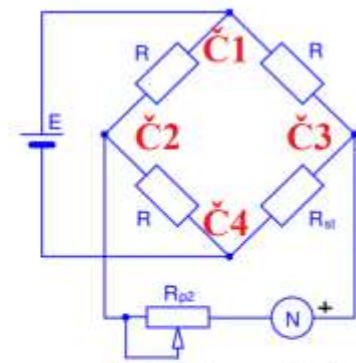
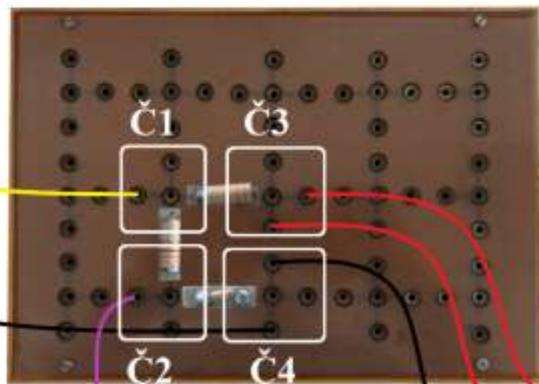
Slika 8.1.2. Neuravnoteženi Vistonov most.



Slika 8.1.2. Neuravnoteženi Vistonov most.



Slika 8.1.2. Neuravnoteženi Vistonov most.



Slika 8.1.2. Neuravnoteženi Vítstonov most.

		←				$R_{st0}$	→			
$R_{st}$	$\Omega$	2966	3066	3166	3266	3366	3466	3566	3666	3766
$\Delta R$ ,	$\Omega$	-400	-300	-200	-100	0	100	200	300	400
$I_N$ ,	$\mu A$	30	22	14	8	0	-8	-14	-20	-28
$U_N$ ,	mV					0				
$I_{NR}$ ,	$\mu A$					0				
$\Gamma_N$ ,	%					0				

Tabela 8.1.2. Rezultati snimanja statičke karakteristike neuravnoteženog Vitstonovog mosta.

$R_{Xmn}$	$I_N$ $\mu A$	$R_m$ $\Omega$	$R_{Xmn}$ $\Omega$
$R_{X330}$	-24		
$R_{Y1}$	-2		
$R_{Y2}$	-26		

Tabela 8.1.3. Rezultati merenja otpornosti neuravnoteženim Vitstonovim mostom.

$R_{st-očitano}$ $\Omega$	$\Delta R_{min}$ $\Omega$	vrednost podeoka $\mu A$	$O_{Emn}$ nA/ $\Omega$
3350	40	2	